

# 具有最小特征值灵敏度的输入-输出反馈补偿器的设计

徐和生 陈锦娣 耿福昌

(北京工业学院)

## 摘要

本文讨论了具有最小特征值灵敏度的输入-输出反馈补偿器的设计方法。它是通过通常设计的输入-输出反馈补偿器所具有的某些自由度来实现的。

## 一、引言

输入-输出反馈补偿器是常用的补偿器形式之一，它可用以实现极点配置、常用的各種最佳传递函数矩阵和模型匹配等。一般情况下，所设计的输入-输出反馈补偿器均存在某些自由度，本文就是利用这些自由度来减小系统的灵敏度，以达到整个系统的特征值灵敏度最小。

## 二、输入-输出反馈补偿器的设计

设被控对象的动态特性可由其传递函数矩阵  $G(s)$  完全表征， $G(s)$  为  $q \times p$  真有理函数矩阵，其既约右矩阵分式描述为

$$G(s) = N(s)D^{-1}(s), \quad (1)$$

其中  $D(s)$  和  $N(s)$  分别为  $p \times p$  和  $q \times p$  多项式矩阵。加入输入-输出反馈补偿器

$$C_u(s) = D_c^{-1}(s)N_u(s) \quad (2a)$$

和

$$C_y(s) = D_c^{-1}(s)N_y(s), \quad (2b)$$

其中  $D_c(s)$ 、 $N_u(s)$  和  $N_y(s)$  分别为  $p \times p$ 、 $p \times p$  和  $p \times q$  多项式矩阵。则整个系统(见图1)从  $\mathbf{r}$  到  $\mathbf{y}$  的传递函数矩阵为

$$\begin{aligned} G_f(s) &= N(s)[D_c(s)D(s) + N_u(s)D(s) + N_y(s)N(s)]^{-1}D_c(s) \\ &\triangleq N(s)D_f^{-1}(s)D_c(s), \end{aligned} \quad (3)$$

其中

$$D_f(s) = D_c(s)D(s) + N_u(s)D(s) + N_y(s)N(s). \quad (4)$$

设图1中  $\{D(s), N(s)\}$  右互质(即被控对象为既约的)， $D(s)$  为列化简，且

$$\delta_{ci}D(s) \geq \delta_{ci}N(s) \quad i = 1, 2, \dots, p; \quad (5)$$

$$\delta_{ci}D(s) \triangleq \mu_i, i = 1, 2, \dots, p; \quad (6)$$

这里  $\delta_{ci}D(s)$  和  $\delta_{ci}N(s)$  分别表示多项式矩阵  $D(s)$  和  $N(s)$  第  $i$  列的列次数。

$$\mu \triangleq \max \{\mu_i, i = 1, 2, \dots, p\}, \quad (7)$$

$$n \triangleq \sum_{i=1}^p \mu_i. \quad (8)$$

$D_c(s)$  为行化简,

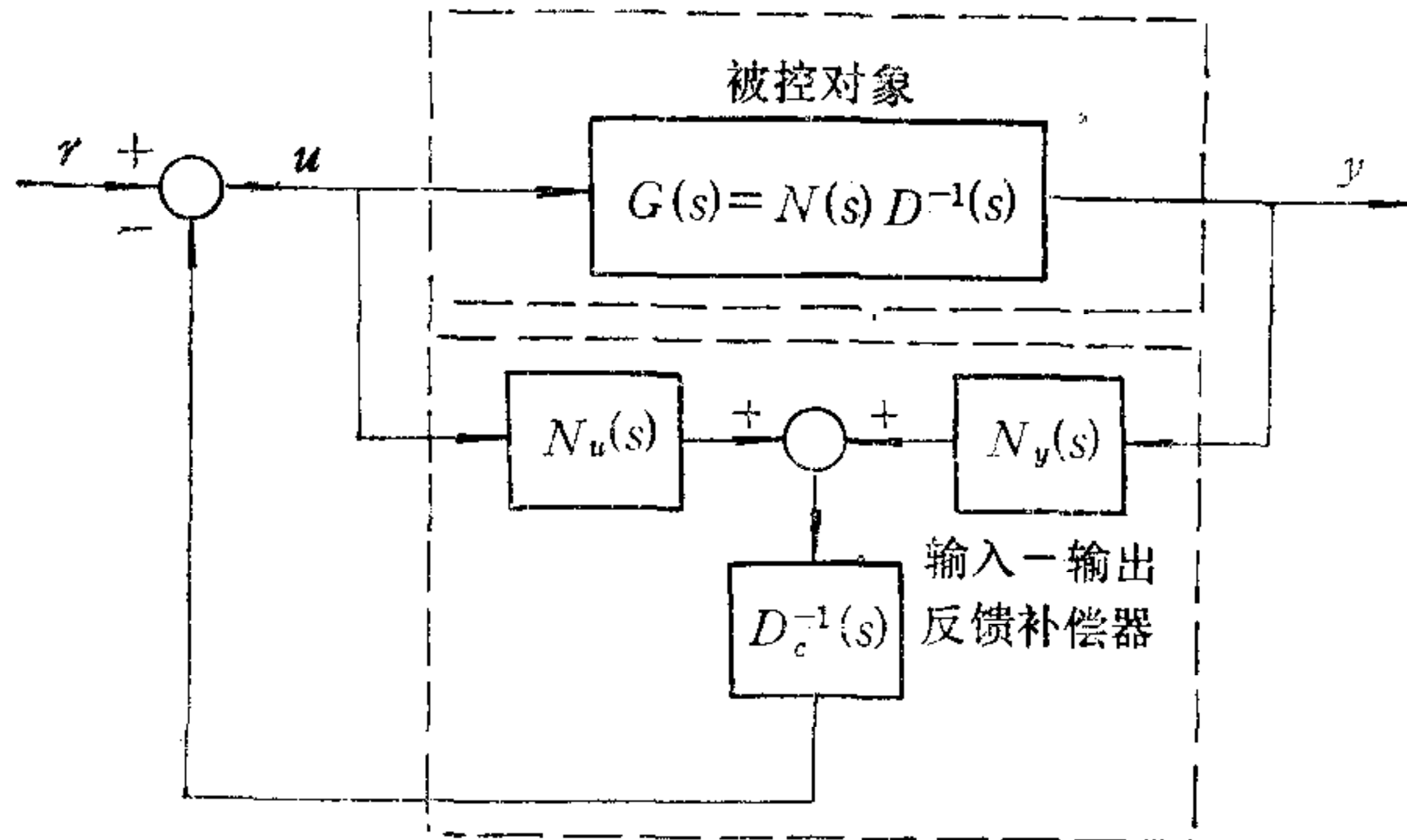


图 1 具有输入-输出反馈补偿器的闭环系统方块图

$$\delta_{ri}D_c(s) \triangleq k, i = 1, 2, \dots, p; \quad (9)$$

这里  $\delta_{ri}D_c(s)$  表示  $D_c(s)$  的第  $i$  行的行次数。 $D_f(s)$  为列化简,

$$\delta_{ci}D_f(s) = \mu_i + k, i = 1, 2, \dots, p. \quad (10)$$

文[1]证明了满足上述约束的任何  $D(s)$ 、 $N(s)$ 、 $D_f(s)$  和  $D_c(s)$ , (4) 式对  $N_u(s)$  和  $N_y(s)$  有解, 且得到的补偿器  $C_u(s) = D_c^{-1}(s)N_u(s)$  和  $C_y(s) = D_c^{-1}(s)N_y(s)$  为真有理的充分必要条件是  $k \geq v - 1$ . 这里  $v$  为  $G(s) = N(s)D^{-1}(s)$  的行指数, 即可观测性指数。

令

$$D_f(s) = H(s)\bar{D}_f(s) \quad (11a)$$

$$\text{和} \quad D_c(s) = H(s)\bar{D}_c(s), \quad (11b)$$

其中

$$H(s) = \text{diag}\{h_i(s), i = 1, 2, \dots, p\}$$

$$\triangleq \text{diag}\left\{\prod_{j=1}^k (s - \alpha_{ij}), i = 1, 2, \dots, p\right\}, \quad (12)$$

$$\delta_{ri}\bar{D}_f(s) = \mu_i + k - k_1, \quad i = 1, 2, \dots, p, \quad (13)$$

且  $\bar{D}_f(s)$  为列化简;

$$\delta_{ri}\bar{D}_c(s) = k - k_1, \quad i = 1, 2, \dots, p, \quad (14)$$

且  $\bar{D}_c(s)$  为行化简. 显见, 这样选取的  $D_f(s)$  和  $D_c(s)$  满足上述条件, 并且  $\bar{D}_f(s)$ 、 $\bar{D}_c(s)$  和  $H(s)$  在满足(13)和(14)式约束的条件下可任意选取.

将(11)式代入(3)和(4)式, 得

$$G_f(s) = N(s)\bar{D}_f^{-1}(s)H^{-1}(s)H(s)\bar{D}_c(s) = N(s)\bar{D}_f^{-1}(s)\bar{D}_c(s) \quad (15)$$

和

$$H(s)\bar{D}_f(s) = H(s)\bar{D}_c(s)D(s) + N_u(s)D(s) + N_y(s)N(s), \quad (16)$$

式中  $\bar{D}_f(s)$  和  $\bar{D}_c(s)$  是根据设计要求选定的(当然应满足(13)和(14)式的约束条件);  $\det H(s) = 0$  的根  $\alpha_{ij}$ ,  $j = 1, 2, \dots, k_1$ ,  $i = 1, 2, \dots, p$ , 是系统的输入解耦零点, 即不可控模式。只要各个  $\alpha_{ij}$  的实部均为负, 且比  $\det \bar{D}_f(s) = 0$  的主根的实部更负, 则它不仅不会影响系统的稳定性, 而且对整个系统的动态特性影响不大。因此,  $\alpha_{ij}$  的选取具有很大的自由度。选取不同的  $H(s)$ , 由方程(16)解得的  $N_u(s)$  和  $N_y(s)$  就不同。从而当  $D(s)$  和  $N(s)$  的系数变化时, 系统的特征值的变化也不同, 即系统的特征值灵敏度与  $H(s)$  的选取有关。这表明, 我们可以利用这个自由度来减小系统的参数灵敏度, 使整个系统的特征值灵敏度达到最小。当然,  $H(s)$  的选取应满足上述约束条件, 即

$$\det H(s) = 0$$

的根  $\alpha_{ij}$  的实部应比  $\det \bar{D}_f(s) = 0$  的主根的实部更负。

### 三、小灵敏度补偿器的设计

所谓特征值灵敏度, 就是指系统的特征值对系统参数的变化率<sup>[2,3]</sup>。这里取特征值灵敏度的指标函数为

$$I_s = \sum \left[ \left( \frac{\partial s_i}{\partial n_{ljk}} \right)^2 + \left( \frac{\partial s_i}{\partial d_{ljk}} \right)^2 \right], \quad (17)$$

其中  $s_i, i = 1, 2, \dots, n + p(k - k_1)$ , 为  $\det \bar{D}_f(s) = 0$  的根,  $n_{ljk}$  和  $d_{ljk}$  分别为  $N(s)$  和  $D(s)$  的第  $(j, k)$  个元素中  $s$  的  $l$  次方的系数。

由于  $\det \bar{D}_f(s) = 0$  的根是由设计者选定的, 故可设  $\det \bar{D}_f(s) = 0$  的根两两互异, 并且  $\det \bar{D}_f(s) = 0$  和  $\det H(s) = 0$  没有相同的根, 即  $\det H(s_i) \neq 0$ 。

由隐函数的微分定理知, 对于  $f(x, y) = 0$ , 有

$$\frac{dy}{dx} = - \frac{f'_x(x, y)}{f'_y(x, y)}.$$

因为  $s_i, i = 1, 2, \dots, n + p(k - k_1)$ , 满足  $\det(H(s)\bar{D}_f(s)) = \det(H(s)\bar{D}_c(s)D(s) + N_u(s)D(s) + N_y(s)N(s)) = 0$ , 所以,

$$\frac{\partial s_i}{\partial \alpha} = - \frac{[\det(H(s)\bar{D}_c(s)D(s) + N_u(s)D(s) + N_y(s)N(s))]'_\alpha}{[\det(H(s)\bar{D}_f(s))]'_s} \Big|_{\substack{s=s_i \\ \alpha=\alpha_0}} \quad (18)$$

其中  $\alpha$  表示被控对象  $N(s)$  和  $D(s)$  的某个系数,  $\alpha_0$  为  $\alpha$  的标称值。上式中

$$[\det(H(s)\bar{D}_f(s))]'_s \Big|_{\substack{s=s_i \\ \alpha=\alpha_0}}$$

为标称参数时特征多项式对  $s$  的导数在  $s = s_i$  点的值, 由于  $s_i$  为单根, 故该导数不为零, 并且易于计算。而  $[\det(H(s)\bar{D}_c(s)D(s) + N_u(s)D(s) + N_y(s)N(s))]'_\alpha \Big|_{\substack{s=s_i \\ \alpha=\alpha_0}}$

则是一个非奇异矩阵行列式对矩阵某一元素的微分问题, 它可根据下列公式计算<sup>[4]</sup>。

$$\frac{d[\det P(\alpha)]}{d\alpha} = tr \left[ adjP(\alpha) \cdot \frac{dP(\alpha)}{d\alpha} \right], \quad (19)$$

式中  $tr$  表示矩阵的迹,  $P(\alpha)$  为非奇异方阵, 且对  $\alpha$  可微。而  $adjP(\alpha)$  可利用 Faddeev 递推公式算出, 即

$$\text{adj } P(\alpha) = \frac{R_{n-1}(s)}{a_n(s)}, \quad (20)$$

其中  $R_{n-1}(s)$  和  $a_n(s)$  可由下列递推公式算出

$$\begin{aligned} R_0(s) &= I \longrightarrow a_1(s) = -\text{tr}[P(s)R_0(s)] \\ R_1(s) &= P(s)R_0(s) + I a_1(s) \longrightarrow a_2(s) = -\frac{1}{2} \text{tr}[P(s)R_1(s)] \\ R_2(s) &= P(s)R_1(s) + I a_2(s) \longrightarrow a_3(s) = -\frac{1}{3} \text{tr}[P(s)R_2(s)] \\ &\vdots && \vdots \\ R_{n-1}(s) &= P(s)R_{n-2}(s) + I a_{n-1}(s) \longrightarrow a_n(s) = -\frac{1}{n} \text{tr}[P(s)R_{n-1}(s)] \\ 0 &= P(s)R_{n-1}(s) + I a_n(s). \end{aligned}$$

至此, 特征值灵敏度函数  $\frac{\partial s_i}{\partial n_{ijk}}$  和  $\frac{\partial s_i}{\partial d_{ijk}}$  的求取问题完全解决。尽管假设

$$H(s) = \text{diag}\{h_i(s), i = 1, 2, \dots, p\}$$

为简单的对角线形, 但是要列出使特征值灵敏度函数  $I_s$  为最小的  $H(s)$  的参数解析关系

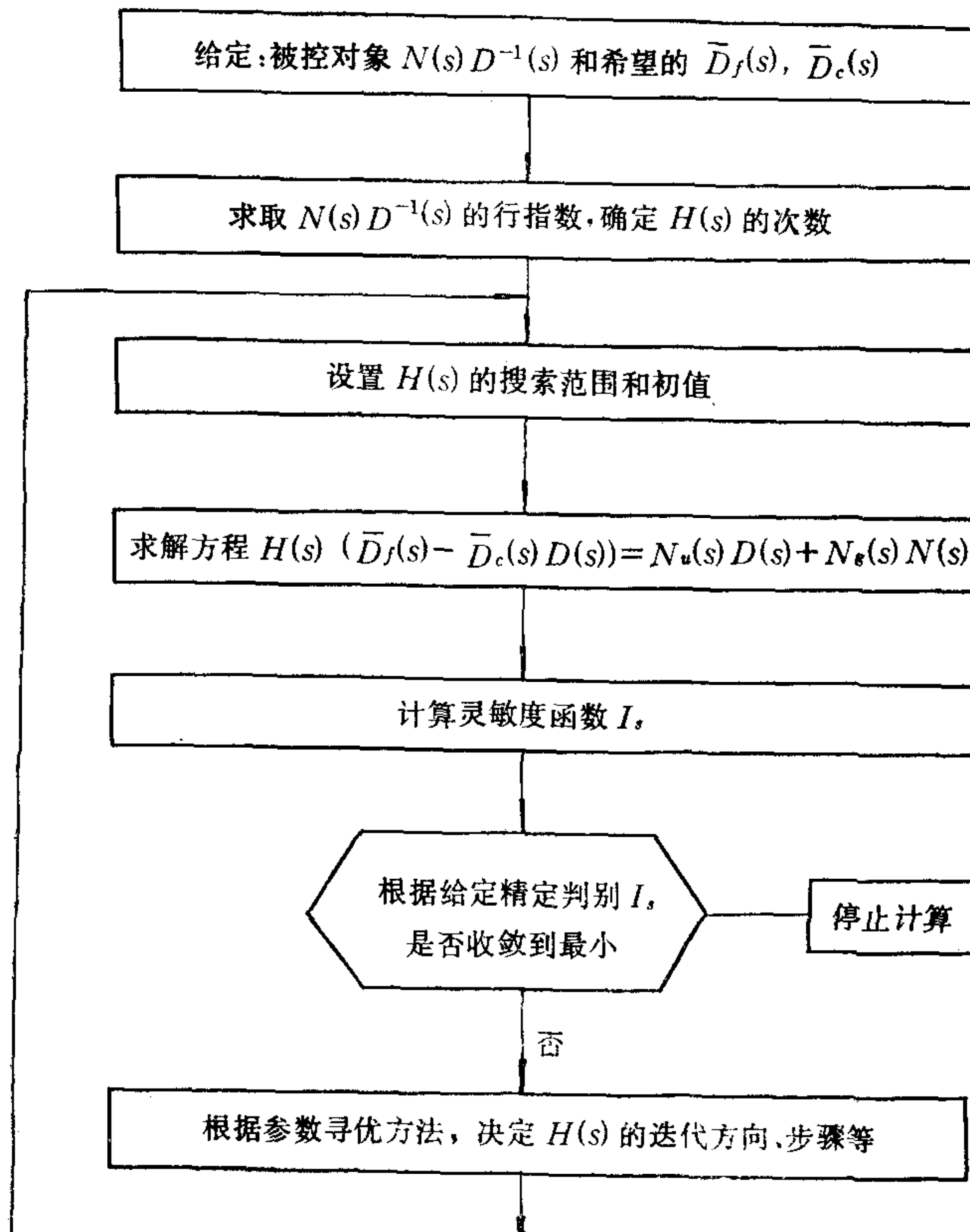


图 2

式仍是非常困难的,只能用参数寻优方法解决。

最后,用框图形式给出利用参数寻优方法求取特征值灵敏度为最小的输入-输出反馈补偿器的设计步骤,如图 2 所示。

#### 四、仿 真 结 果

设有被控对象

$$G(s) = N(s)D^{-1}(s)$$

$$= \begin{bmatrix} 0 & 0.1765 \\ 2.1176 & 1.8824 \end{bmatrix} \begin{bmatrix} 4.5542 & 5.3313 + 6.0241s \\ 2.1672 + 2.99975 + 0.0337s^2 & 2.6660 \end{bmatrix}^{-1},$$

希望

$$\bar{D}_f(s) = \begin{bmatrix} 2.1002 - 0.046s & 3.4483 + 6.0241s \\ 8.8172 + 3.6577s + 0.0337s^2 & -5.6130 \end{bmatrix}$$

$$\bar{D}_c(s) = I.$$

取

$$H(s) = \begin{bmatrix} (s - \alpha_{11})(s - \alpha_{12}) & 0 \\ 0 & (s - \alpha_{21})(s - \alpha_{22}) \end{bmatrix},$$

用单纯形法求得特征值灵敏度函数  $I_s$  为最小的补偿器为

$$H(s) = \begin{bmatrix} s^2 + 56.3026s + 792.131 & 0 \\ 0 & s^2 + 39.2781s + 385.385 \end{bmatrix},$$

$$N_u(s) = \begin{bmatrix} 1402.71 + 15.2627s & 3055.27 - 1.36482s \\ -1831.67 - 17.9944s & -3848.63 + 19.5229s \end{bmatrix},$$

$$N_y(s) = \begin{bmatrix} 778.494 + 48.3721s + 20.1222s^2 & -7061.34 - 444.169s - 49.0757s^2 \\ -1540.34 - 10.2217s + 45.2751s^2 & 9088.06 + 5713.43s + 48.9447s^2 \end{bmatrix},$$

而  $H(s)$  在寻优初值

$$H(s) = \begin{bmatrix} 135.350 + 23.2680s + s^2 & 0 \\ 0 & 135.350 + 23.2680s + s^2 \end{bmatrix}$$

时解得

$$N_u(s) = \begin{bmatrix} -68.5108 - 0.917740s & -203.147 - 1.36482s \\ -873.758 - 5.35040s & -1816.94 + 19.5229s \end{bmatrix},$$

$$N_y(s) = \begin{bmatrix} 5413.32 + 11.6340s + 11.6340s^2 & 198.390 + 261.226s + 3.50223s^2 \\ 3084.71 + 11.6340s + 11.6340s^2 & 4163.77 + 2680.36s + 11.6340s^2 \end{bmatrix}.$$

系统的数字仿真结果示于图 3。图中曲线 1 为标称参数时的输出阶跃响应  $y = [y_1, y_2]^T$  (这里  $T$  表示转置), 曲线 2 和 3 分别为  $N(s)$  和  $D(s)$  的变化量  $\Delta N(s)$  和  $\Delta D(s)$  为

$$\Delta N(s) = \begin{bmatrix} -0.07647 & -0.01176 \\ -0.02353 & 0.11765 \end{bmatrix},$$

$$\Delta D(s) = \begin{bmatrix} -0.07186 & 0 \\ -0.01081 & 0.016685 \end{bmatrix}$$

时,  $H(s)$  为寻优初值时的输出阶跃响应和  $I_s$  为最小时的输出阶跃响应。

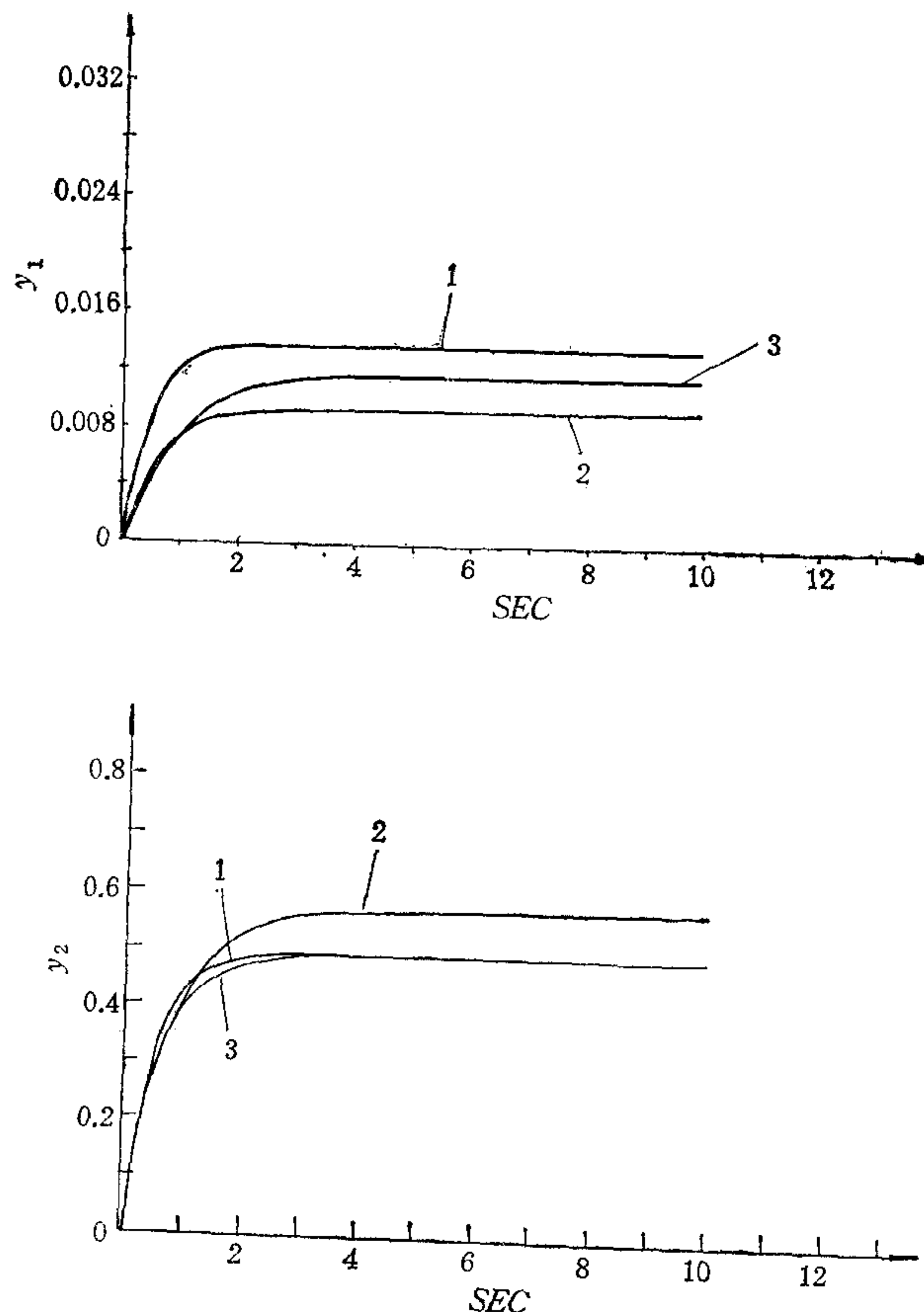


图 3

## 五、结 束 语

本文讨论了系统的特征值 ( $\det D_f(s) = 0$  的根) 两两互异时, 具有最小特征值灵敏度的输入-输出反馈补偿器的设计问题。当系统具有重特征值时, (18)式的分母为零, 这表明不能用(17)式来定义具有重特征值的系统的灵敏度函数。然而, 只要将系统的特征值灵敏度函数的定义扩展为

$$I_s \triangleq \sum \left[ \frac{(\partial s_i)^{\nu_i}}{\partial \alpha} \right]^2 = \sum \left[ -\nu_i! \frac{\partial \det D_f(s)}{\partial \alpha} \Big/ \frac{\partial^{\nu_i} \det D_f(s)}{\partial s_i^{\nu_i}} \right] \Big|_{\substack{s=s_i \\ \alpha=\alpha_0}}$$

即可解决, 式中  $\nu_i$  为  $\det D_f(s) = 0$  的根  $s_i$  的重数,  $\alpha_0$  为系统参数  $\alpha$  的标称值。对于这个问题, 这里就不详细讨论了, 有兴趣的读者可参考文献 [5]。

## 参 考 文 献

- [1] Chen, C. T., Linear System Theory and Design, CBS College Publishing (1984), 512.
- [2] Gourishankar, V. and Ramar, R., Pole Assignment with Minimum Eigenvalue Sensitivity to Plant Parameter Variations, *Int. J. Contr.* Vol. 23(1976), 493—504.
- [3] Gourishankar, V. and Ramar, R., Utilization of The Freedom of Pole Assignment Controller of Unrestricted Rank, *Int. J. Contr.* Vol. 24(1977), 423—430.
- [4] 韩京清, 何关钰, 许可康, 线性系统理论代数基础, 辽宁科学技术出版社 (1985), 468.
- [5] Frank, P. M., Introduction to System Sensitivity Theory, San Francisco London (1978), 234—235.

## THE DESIGN OF INPUT-OUTPUT FEEDBACK COMPENSATORS WITH MINIMUM EIGENVALUE SENSITIVITY

XU HESHENG CHEN JINDI GENG FUCHANG

*(Beijing Institute of Technology)*

### ABSTRACT

The design of input-output feedback compensators with minimum eigenvalue sensitivity is considered in this paper. It is implemented by some degrees of freedom of the general input-output feedback compensator.